

**Хвастухин Ю.И., Колесник В.В.,
Орлик В.Н., Цюпяшук А.Н.
Институт газа НАН Украины, Киев**

Математическое моделирование процесса дегидратации мелкодисперсных частиц в псевдоожиженном слое инертных частиц. **2. Разработка математического обеспечения**

Разработано математическое обеспечение процесса дегидратации мелкодисперсных частиц в псевдоожиженном слое инертных частиц. Описана процедура расчета. Приведены примеры расчета технологических параметров процесса.

Ключевые слова: мелкодисперсные частицы, дегидратация, псевдоожиженный слой, математическая модель.

Розроблено математичне забезпечення процесу дегідратації дрібнодисперсних частинок у псевдозрідженному шарі інертних часток. Описано процедуру розрахунку. Наведено приклади розрахунку технологічних параметрів процесу.

Ключові слова: дрібнодисперсні частинки, дегідратація, псевдозріджений шар, математична модель.

Настоящая статья является продолжением работы [1], посвященной созданию математического описания основных этапов технологического процесса получения наполнителей для композитных облегченных теплоизоляционных материалов. Процесс основан на сжигании природного газа, запыленного мелкими частичками гидратированного стекла, в псевдоожиженном слое инертных частичек.

Было показано, что в силу принятых предположений и с учетом совокупности физико-химических превращений компонентов газового потока и мелких частичек, транспортируемых этим потоком, математическое описание сводится к нижеследующей системе уравнений.

Для компонентов газового потока часть уравнений может быть записана в явном виде относительно производных:

$$\frac{dG_{CH_4}}{dh} = F \varepsilon W_{CH_4}; \quad (1)$$

$$\frac{dG_{N_2}}{dh} = F \varepsilon W_{N_2}; \quad (2)$$

$$\frac{dG_{NO}}{dh} = -(2M_{NO} / M_{N_2}) \times$$

$$\frac{dG_{N_2}}{dh} = -(2M_{NO} / M_{N_2}) F \varepsilon W_{N_2}; \quad (3)$$

$$\frac{dG^{(p)}_{H_2O}}{dh} = F \varepsilon W^{(p)}_{H_2O}; \quad (4)$$

$$Q_{in}(\theta) = F \int_0^h S_{in}^s \alpha_{in}(\theta - t) dt, \quad (5)$$

а между производными для остальных компонентов существуют линейные соотношения, ко-

торые в матрично-векторной форме могут быть записаны в таком виде:

$$A[9,9] \times \begin{vmatrix} \frac{dG_{O_2}}{dh} \\ \frac{dG_{H_2O}}{dh} \\ \frac{dG_{CO_2}}{dh} \\ \frac{dG_{CO}}{dh} \\ \frac{dG_H}{dh} \\ \frac{dt}{dh} \\ \frac{dG_{H_2}^{(II)}}{dh} \\ \frac{dG_{CO_2}^{(III)}}{dh} \\ \frac{dM}{dh} \end{vmatrix} = B[9,5] \times \begin{vmatrix} \frac{dG_{CH_4}}{dh} \\ \frac{dG_{N_2}}{dh} \\ \frac{dG_{NO}}{dh} \\ \frac{dG_{H_2O}^{(p)}}{dh} \\ 1 \end{vmatrix}. \quad (6)$$

Для коэффициентов матриц, отличных от 0, имеют место соотношения:

$$a_{11} = a_{22} = a_{33} = a_{44} = a_{55} = 1,$$

$$a_{27} = a_{38} = a_{99} = -1,$$

$$a_{17} = \frac{M_{O_2}}{2M_{H_2O}}, a_{18} = \frac{M_{O_2}}{2M_{CO_2}},$$

$$a_{48} = \frac{M_{CO}}{M_{CO_2}}, a_{57} = \frac{M_{H_2}}{2M_{H_2O}},$$

$$a_{61} = I_{O_2}^F, a_{62} = I_{H_2O}^F, a_{63} = I_{CO_2}^F,$$

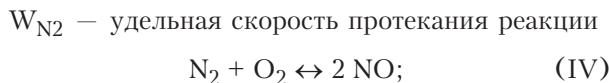
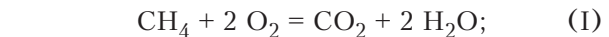
$$a_{64} = I_{CO}^F, a_{65} = I_{H_2}^F; a_{66} = \sum_i G_i c_i^p,$$

$$\begin{aligned}
 a_{71} &= K_{H_2O}^p G_{H_2}, a_{72} = -2MR_{H_2O}S_{H_2O}, \\
 a_{75} &= 2K_{H_2O}^p G_{O_2}, a_{76} = G_{H_2} G_{O_2} \frac{dK_{H_2O}^p}{dt}, \\
 a_{79} &= -R_{H_2O} S_{H_2O} G_{H_2O}, a_{81} = K_{CO_2}^p G_{CO}, \\
 a_{83} &= -2MR_{CO_2} S_{CO_2}, a_{84} = 2K_{CO_2}^p G_{O_2}, \\
 a_{86} &= G_{CO} G_{O_2} \frac{dK_{CO_2}^p}{dt}, a_{89} = -R_{CO_2} S_{CO_2} G_{CO_2}, \\
 a_{91} &= 1/M_{O_2}, a_{92} = 1/M_{H_2O}, a_{93} = 1/M_{CO_2}, \\
 a_{94} &= 1/M_{CO}, a_{95} = 1/M_{H_2}; \\
 b_{11} &= \frac{2M_{O_2}}{M_{CH_4}}, b_{12} = \frac{M_{O_2}}{M_{N_2}}, \\
 b_{21} &= \frac{-2M_{H_2O}}{M_{CH_4}}, b_{31} = \frac{-M_{CO_2}}{2M_{CH_4}}, \\
 b_{61} &= -I_{CH_4}^F, b_{62} = -I_{N_2}^F, b_{63} = -I_{NO}^F; \\
 b_{64} &= I_{H_2O}^{(v)}(\theta_{R_p}) - I_{H_2O}^{(v)}(t),
 \end{aligned}$$

$$\begin{aligned}
 b_{65} &= F[S_{in}^s \alpha_{in} (\Theta - \tau) + \epsilon(1 - \epsilon_p) S_p^s \alpha_p (\Theta_{R_p} - t)], \\
 b_{91} &= -1/M_{CH_4}, b_{92} = -1/M_{N_2}, b_{93} = -1/M_{NO}.
 \end{aligned}$$

Тут G_i , M_i , $I^F_i(t)$, cP_i , $i = O_2, N_2, H_2O, CH_4, CO_2, NO, CO, H_2$ — массовый расход ($\text{кг}/\text{с}$), молекулярный вес ($\text{кг}/\text{кмоль}$), полная энталпия ($\text{кДж}/\text{кг}$) и удельная теплоемкость ($\text{кДж}/(\text{кг}\cdot\text{К})$) соответствующих компонентов газового потока; M — мольный расход газового потока в целом, $\text{кмоль}/\text{с}$; ϵ — порозность ПС.

W_{CH_4} — удельная скорость протекания реакции, $\text{кг}/(\text{м}^3\cdot\text{с})$



$G_{H_2O}^{(II)}$, $G_{CO_2}^{(III)}$ — скорости образования H_2O и CO_2 по реакциям (II) и (III), $\text{кг}/\text{с}$; Θ , t , θ_{R_p} , θ_{ev} — температуры инертных частиц, газового потока, поверхности мелких частиц, переносимых газовым потоком, и температура дегидратации; $I^{(v)}_{H_2O}(\theta_{R_p})$, $I^{(v)}_{H_2O}(t)$ — энталпия паров воды при температуре поверхности частицы θ_{R_p} , переносимых потоком, и температуре этого потока, соответственно; S_{in}^s , α_{in} , S_p^s , α_p — удельные поверхности ($1/\text{м}$) и коэффициенты теплообмена ($\text{кВт}/(\text{м}^2\cdot\text{К})$) газовой фазы с инертными частицами и частицами, переносимыми этим потоком соответственно; $W_{H_2O}^{(p)}$ — удельная скорость удаления связанный воды из частиц, переносимых газовым потоком, $\text{кг}/(\text{м}^3\cdot\text{с})$; $Q_{in}(\theta)$ — скорость результирующего теплообмена между газовым потоком и инертными частицами по всей высоте псевдоожиженного слоя (ПС) при его температуре θ , кВт .

В работе [1] описана также процедура определения производной $d\theta_{R_p}/dh$ для текущей температуры поверхности частицы радиуса R_p при ее контакте с газовой фазой на этапах предварительного прогрева, удаления связанный воды и последующего нагрева.

Для этапа удаления связанный воды указана процедура нахождения производной dR_{ev}/dh для текущей границы между материалом, содержащим гидратную воду при температуре $\theta_{ev} = \text{const}$, и слоем материала $R_{ev} \leq r \leq R_p$, освобожденного от гидратной воды. Знание этой производной позволяет определить удельную скорость $W_{H_2O}^{(p)}$.

Разработанное математическое обеспечение рассматриваемого технологического процесса является совокупностью внешней и внутренней процедур расчета. Суть внутренней процедуры состоит в решении (интегрировании) приведенной

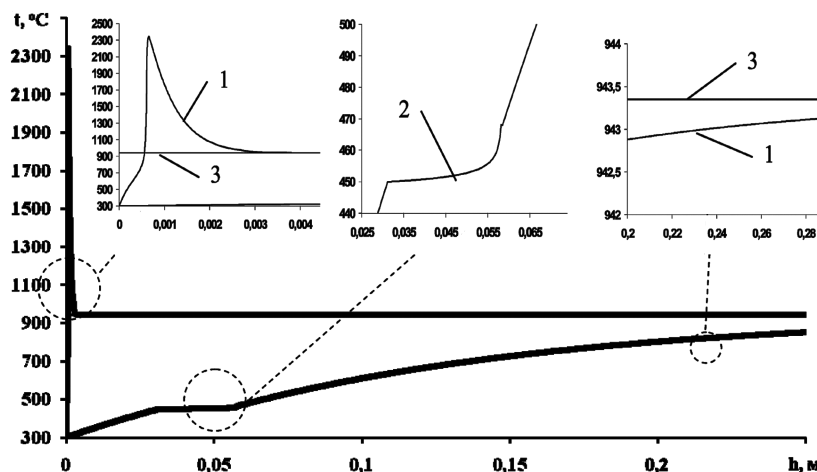


Рис.1. Изменение по высоте кипящего слоя h температуры газовой фазы t (1), частиц (поверхности частиц на этапе удаления связанный воды), транспортируемых газовым потоком θ_{R_p} (2), температуры инертных частиц псевдоожиженного слоя θ (3).

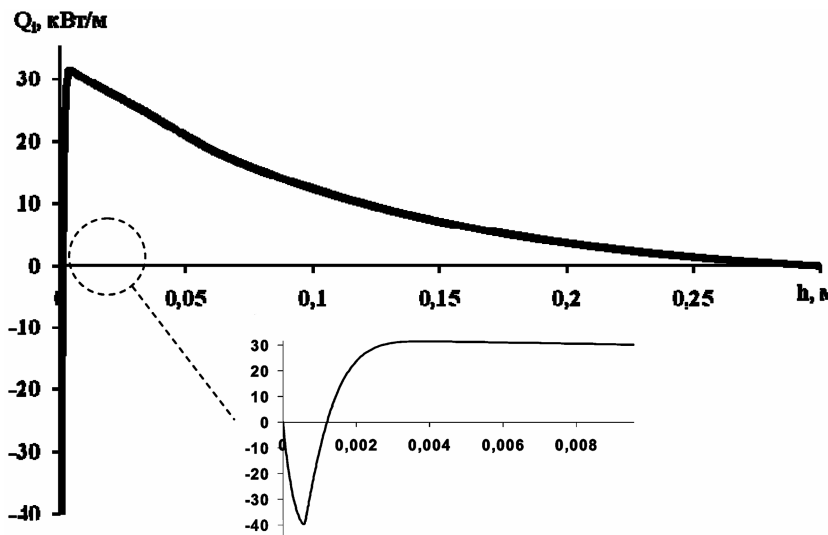


Рис.2. Изменение результирующей скорости теплообмена Q_i между газовой фазой и инертными частицами по высоте псевдоожиженного слоя h .

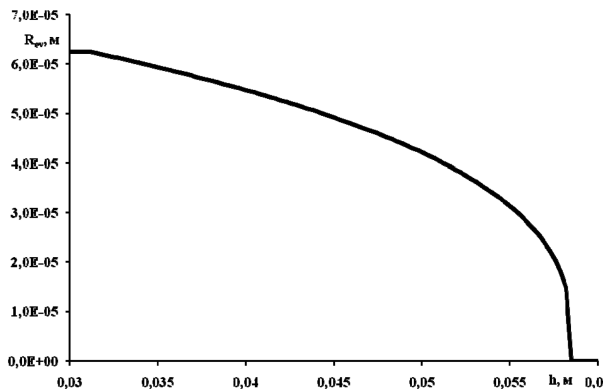


Рис. 3. Изменение радиуса границы материала, содержащего гидратную воду, на этапе ее выделения.

системы уравнений при заданном значении температуры θ инертных частиц ПС. Реализация внешней процедуры связана с нахождением такого значения температуры θ' , для которого выполняется условие $Q_{in}(\theta') = 0$.

С математической точки зрения внутренняя задача — это задача Коши для системы обыкновенных дифференциальных уравнений, часть из которых задана в неявном виде, а внешняя задача — это задача поиска корня функции одной переменной.

При решении задачи Коши использовалась одношаговая процедура численного интегрирования с переменным шагом [2]. Изменение шага обусловлено

в первую очередь необходимостью ограничения величины приращения таких параметров процесса, как температура газового потока t , концентрации O_2 , N_2 , CH_4 на соответствующих участках их быстрого изменения. Кроме того, для повышения точности и достоверности расчетов необходимо точно отслеживать координату, в которой концентрация кислорода или метана (в зависимости от их первоначального соотношения) становится равной нулю. Также необходимо точно определять координату, в которой температура частиц, переносимых газовым потоком, становится равной температуре выделения связанной воды θ_{ev} и начинаяется процесс дегидратации с образованием подвижной границы R_{ey} между различными областями обрабатываемой частицы: обезвоженной и еще содержащей связанную воду.

В процессе интегрирования, как было указано в [1], значения производных dG_{CH_4}/dh , dG_{N_2}/dh , dG_{NO}/dh , $dG^{(P)}_{H_2O}/dh$ вычисляются непосредственно (соотношения (1)–(4)), а значения остальных производных находятся из решения системы линейных алгебраических уравнений (6).

Полученное на k -м шаге итерации для температуры инертных частиц $\theta^{(k)}$ значение величины $Q_{in}(\theta^{(k)})$ используется для нахождения с заданной точностью оценки величины θ' .

Приведенные на рис.1–4 результаты численного анализа процесса дегидратации демонстрируют

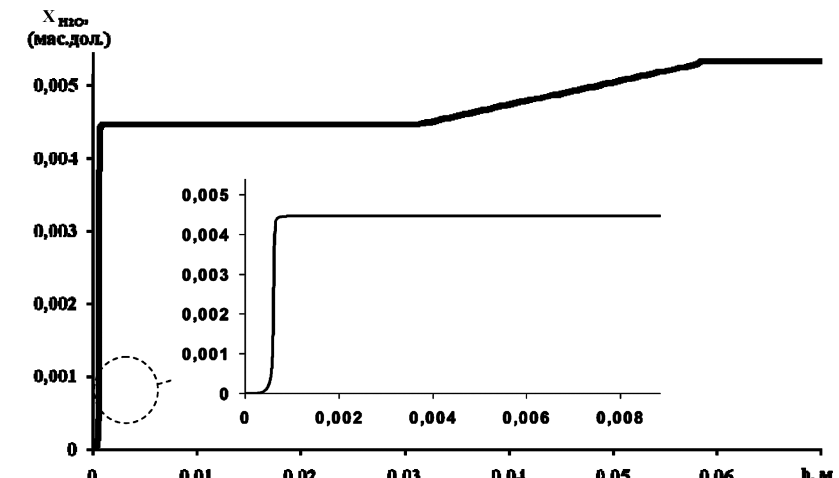


Рис.4. Изменение массовой доли паров воды в газовом потоке по высоте псевдоожиженного слоя.

стрируют возможности разработанного математического обеспечения.

Из рис.1 видно, что сжигание газа происходит в очень узкой прирешеточной зоне (кривая 1). Фактически в газовой фазе происходит адиабатический разогрев газовой смеси, приводящий к большому перепаду температур между газовой и твердой фазами и достигающий более 1000 °С. Это объясняется тем, что скорость реакции окисления существенно превышает скорость межфазного тепломассообмена [3, 4]. Вследствие такого разогрева газовой смеси создаются условия для интенсивного образования оксидов азота.

Кривая 2 отображает интенсивность роста температуры поверхности обрабатываемой мелкодисперсной частицы, содержащей гидратную воду. Характерное плато на кривой (заметное замедление роста температуры поверхности частицы) связано с протеканием процесса дегидратации частицы.

В зависимости от текущих технологических параметров к моменту выхода дегидратированной частицы из ПС температуры газовой и твердых крупной и мелкой фаз сближаются и могут сравняться.

На рис.2 показано, что в прирешеточной зоне ПС идет подогрев пыле-топливной смеси до момента воспламенения топлива за счет теплоотвода от разогретого слоя инертных частиц, а в дальнейшем тепловой поток меняет свое направление до момента выравнивания температур газа и инертного слоя.

На рис.3 отображено изменение радиуса границы материала, содержащего связанную воду, как результат протекания процесса дегидратации. В результате испарения воды концентрация ее в газовом потоке изменяется, что показано на рис.4.

Таким образом, получение математического обеспечения позволяет детально исследовать процесс дегидратации при варьировании конструктивных и технологических параметров, что в результате обеспечивает существенную экономию ресурсов при проектировании новых производств или модернизации существующих.

Список литературы

- Хвастухин Ю.И., Колесник В.В., Орлик В.Н., Щупляшук А.Н. Математическое моделирование процесса дегидратации мелкодисперсных частиц в псевдоожженном слое инертных частиц. 1. Математическое описание процесса // Энерготехнологии и ресурсосбережение. — 2011. — № 6. — С. 66–72.
- Калиткин Н.Н. Численные методы. — М. : Наука, 1978. — 512 с.
- Яната Й. Модель сжигания газообразного топлива в псевдоожженном слое // Хим. технология. — 1978. — № 4. — С. 34–37.
- Орлик В.Н., Махорин К.Е., Воробей А.С. Математическое моделирование процесса сжигания метана в псевдоожженном слое инертных частиц Реф. сб. // Проблемы создания котлоагрегатов с топками кипящего слоя // Энергетическое машиностроение. — М. : НИИинформэнергомаш, 1979. — С. 44–47.

Поступила в редакцию 02.02.12

*Khvastukhin Ju.I., Kolesnyk V.V.,
Orlyk V.N., Tsyupyashuk A.N.*

The Gas Institute of NASU, Kiev

Mathematical Simulation of Fine-Dispersed Particles Dehydration Proces in Inert Particles Fluidized Bed. 2. Software Development

The software for fine-dispersed particles dehydration process in fluidized bed of inert particles is developed. The computation procedure is described. The examples of calculation of process technological parameters are resulted.

Key words: fine-dispersed particles, dehydration, fluidized bed, mathematical model.

Received February 2, 2012